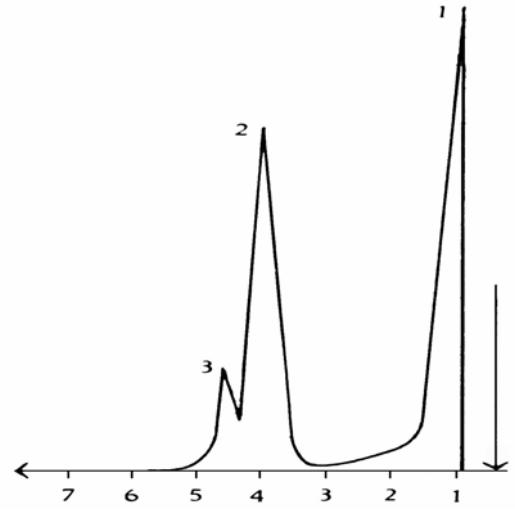
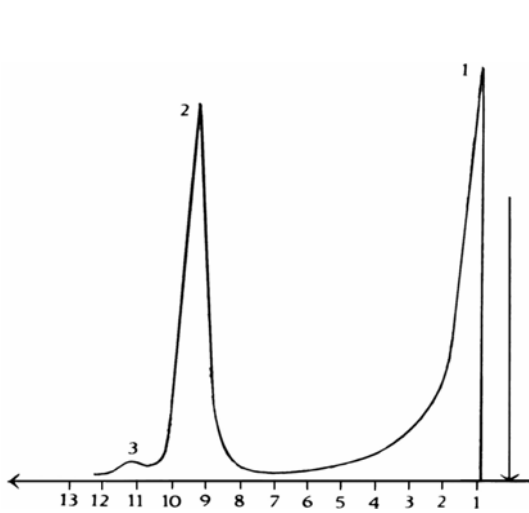
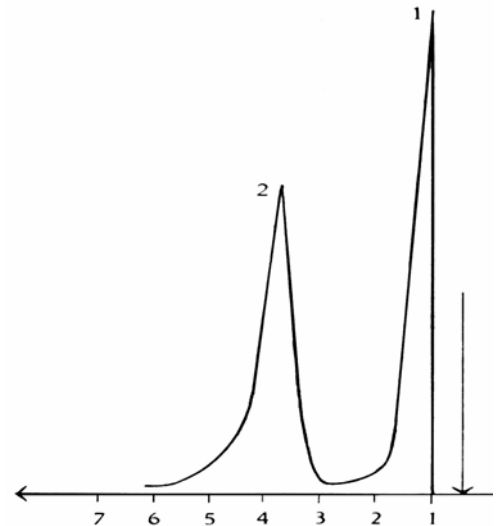
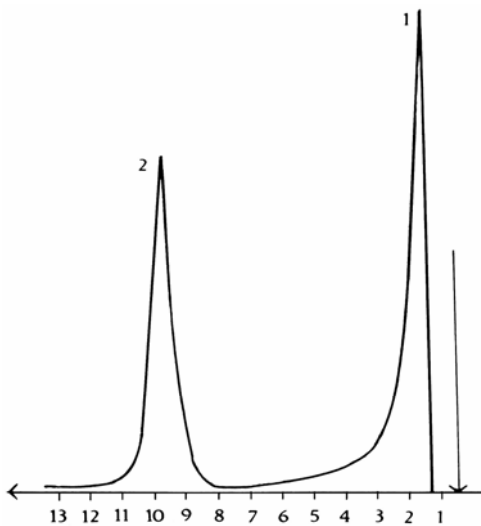


დადგენილია, რომ ჰიდროსილირების რეაქციის შედეგად მიიღება პროდუქტთა ნარევი თანაფარდობით 19:1, ხოლო ჰიდროსულფირებისას - 11:1.



ნახ. 3. 1) ჰექსანი; 2) სილილირებული 1,3-დი(ო-პროპილ-2,3,4,6-ტეტრა-ო-აცეტილ-β-D-გლუკოპირანოზილ)-ბის(დიფენილსილილ)-2,2,4,4-ტეტრაფენილციკლოდისილაზანი; 3) სილილირებული 1,3-დი(ო-2-მეთილეთილ-2,3,4,6-ტეტრა-ო-აცეტილ-β-D-გლუკოპირანოზილ)-ბის(დიფენილსილილ)-2,2,4,4-ტეტრაფენილციკლოდისილაზანი.

ნახ. 4. 1) ჰექსანი; 2) სილილირებული 1-ო-(3-ეთილთიოპროპილ)-2,3,4,6-ტეტრა-ო-აცეტილ-β-D-გლუკოპირანოზა; 3) სილილირებული 1-ო-(2-ეთილთიოპროპილ)-2,3,4,6-ტეტრა-ო-აცეტილ-β-D-გლუკოპირანოზა.



ნახ. 5. 1) ჰექსანი; 2) სილილირებული 1,3-დი(ო-პროპილ-2,3,4,6-ტეტრა-ო-აცეტილ-β-D-გლუკოპირანოზილ)-ბის(დიფენილსილილ)-2,2,4,4-ტეტრაფენილციკლოდისილაზანი;

ნახ. 6. 1) ჰექსანი; 2) სილილირებული 1-ო-(3-ეთილთიოპროპილ)-2,3,4,6-ტეტრა-ო-აცეტილ-β-D-გლუკოპირანოზა;

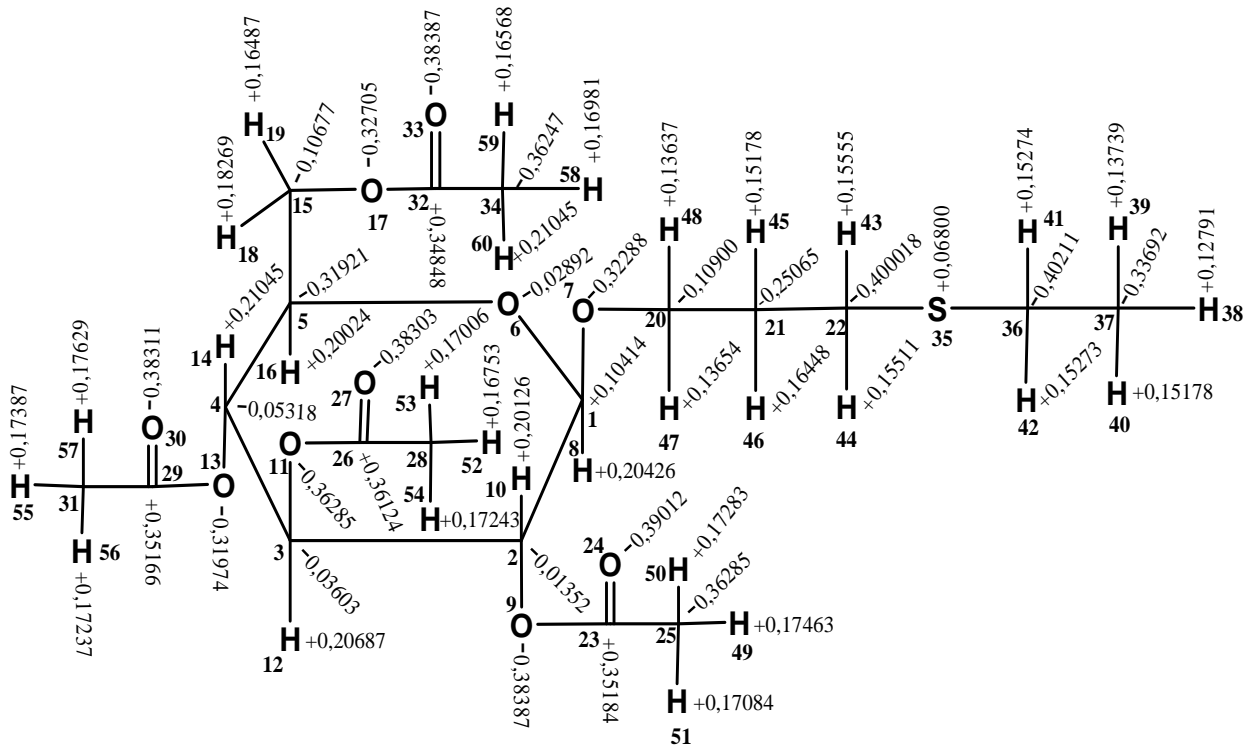
თოქს-ის სიდიდის ცვლილება აირ-მატარებლის სიჩქარის ცვლილებასთან დამოკიდებულებით

ნივთიერება	თოქს- H მმ		
	V ₁ =20 მლ/წთ	V ₂ =40 მლ/წთ	V ₃ =60 მლ/წთ
ჰექსანი	2.16	2.10	2.90
სილილირებული 1,3-დი(O-პროპილ-2,3,4,6-ტეტრა-O-აცეტილ-β-D-გლუკოპირანოზიდ)-ბის(დიფენილსილილ)-2,2,4,4-ტეტრაფენილციკლოდისილაზანი	1.80	1.35	2.30
სილილირებული 1,3-დი(O-2-მეთილეთილ-2,3,4,6-ტეტრა-O-აცეტილ-β-D-გლუკოპირანოზიდ)-ბის(დიფენილსილილ)-2,2,4,4-ტეტრაფენილციკლოდისილაზანი.	6.50	4.10	5.90
სილილირებული 1-O-(3-ეთილთიოპროპილ)-2,3,4,6-ტეტრა-O-აცეტილ-β-D-გლუკოპირანოზა	3.70	2.15	2.70
სილილირებული 1-O-(2-ეთილთიოპროპილ)-2,3,4,6-ტეტრა-O-აცეტილ-β-D-გლუკოპირანოზა.	5.90	4.50	5.10

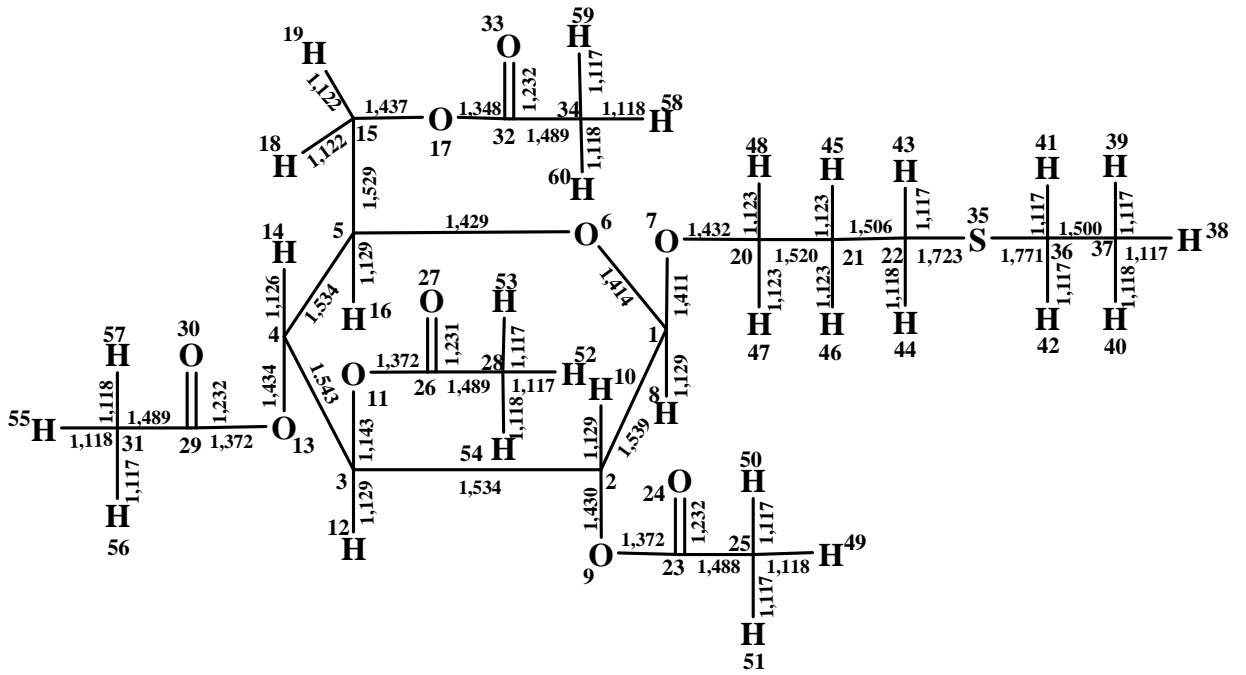
დაყოფის კოეფიციენტის (R_S) აირ-მატარებლის სიჩქარის ცვლილებასთან დამოკიდებულებით

ნივთიერებათა ბინარული ნარევი	R _S		
	V ₁ =20 მლ/წთ	V ₂ =40 მლ/წთ	V ₃ =60 მლ/წთ
ჰექსანი - სილილირებული 1,3-დი(O-პროპილ-2,3,4,6-ტეტრა-O-აცეტილ-β-D-გლუკოპირანოზიდ)-ბის(დიფენილსილილ)-2,2,4,4-ტეტრაფენილციკლოდისილაზანი	3.10	3.85	3.20
ჰექსანი - სილილირებული 1,3-დი(O-2-მეთილეთილ-2,3,4,6-ტეტრა-O-აცეტილ-β-D-გლუკოპირანოზიდ)-ბის(დიფენილსილილ)-2,2,4,4-ტეტრაფენილციკლოდისილაზანი.	1.15	1.50	1.22
ჰექსანი - სილილირებული 1-O-(3-ეთილთიოპროპილ)-2,3,4,6-ტეტრა-O-აცეტილ-β-D-გლუკოპირანოზა	3.10	3.45	2.80

ჰექსანი - სილილირებული 1-O-(2- ეთილთიოპროპილ)-2,3,4,6-ტეტრა-O-აცეტილ-β-D-გლუ- კოპირანოზა.	1.10	2.20	1.15
---	------	------	------



დიაგრამა 1. ელექტრონული სიმკვრივების განაწილება 1-O-(3-ეთილთიოპროპილ)-2,3,4,6-ტეტრა-O-აცეტილ-β-D-გლუკოპირანოზაში.

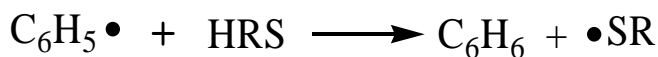


დიაგრამა 8. ბმის სიგრძეები 1-O-(3-ეთილთიოპროპილ)-2,3,4,6-ტეტრა-O-აცეტილ-β-D-გლუკოპირანოზაში.
რეაქციის მექანიზმი

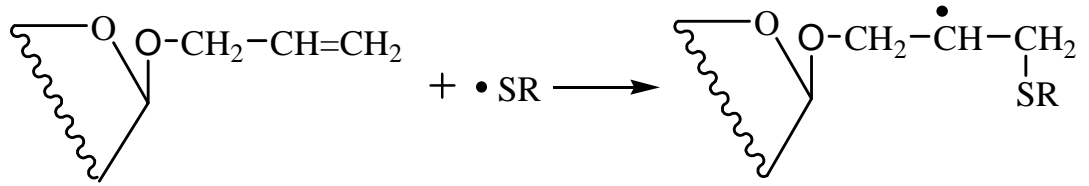
ჰიდროსულფირების აღნიშნული რეაქციები მიმდინარეობს რადიკალური მექანიზმით. ბენზოილის ზეჟანგი მაღალი ტემპერატურის პირობებში იშლება ნახშირბადის ოქსიდისა და არომატული რადიკალის წარმოქმნით:



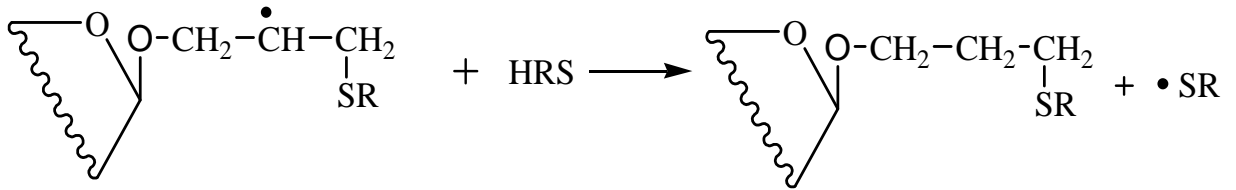
წარმოქმნილი თავისუფალი რადიკალი ახორციელებს შეტევას მერკაპტანის წყალბადის ატომზე და წარმოიქმნება ბენზოილი და თიორადიკალი:



თავისუფალი $\cdot SR$ რადიკალი შემდგომში მოქმედებს ალილგალაქტოზიდთან:

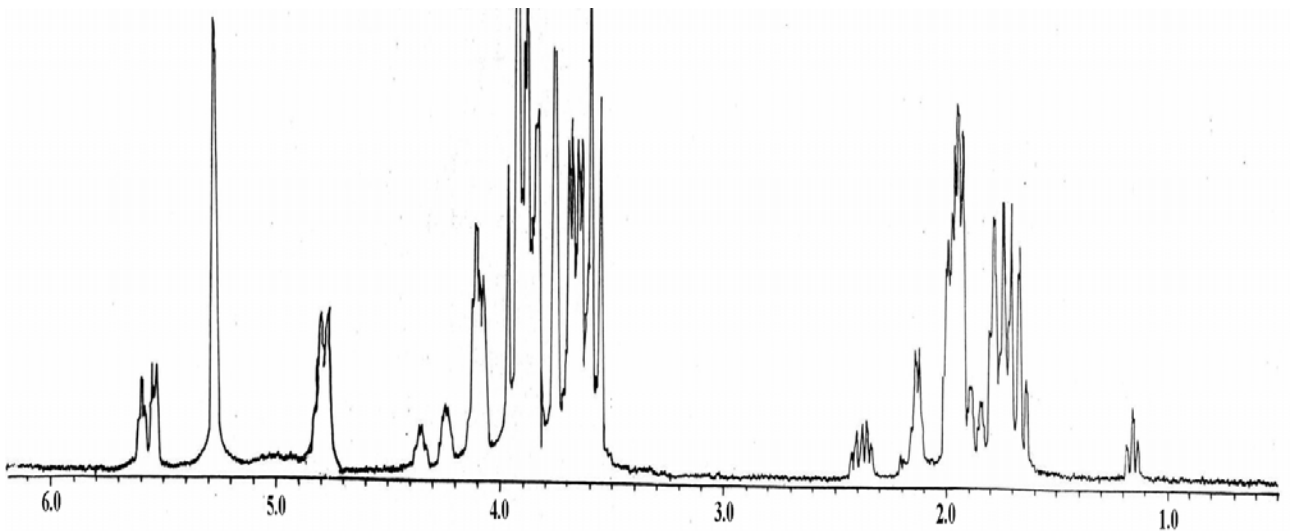


წარმოქმნილი რადიკალი თავის მხრივ უერთდება მერკაპტანის შემდეგ მოლეკულას:

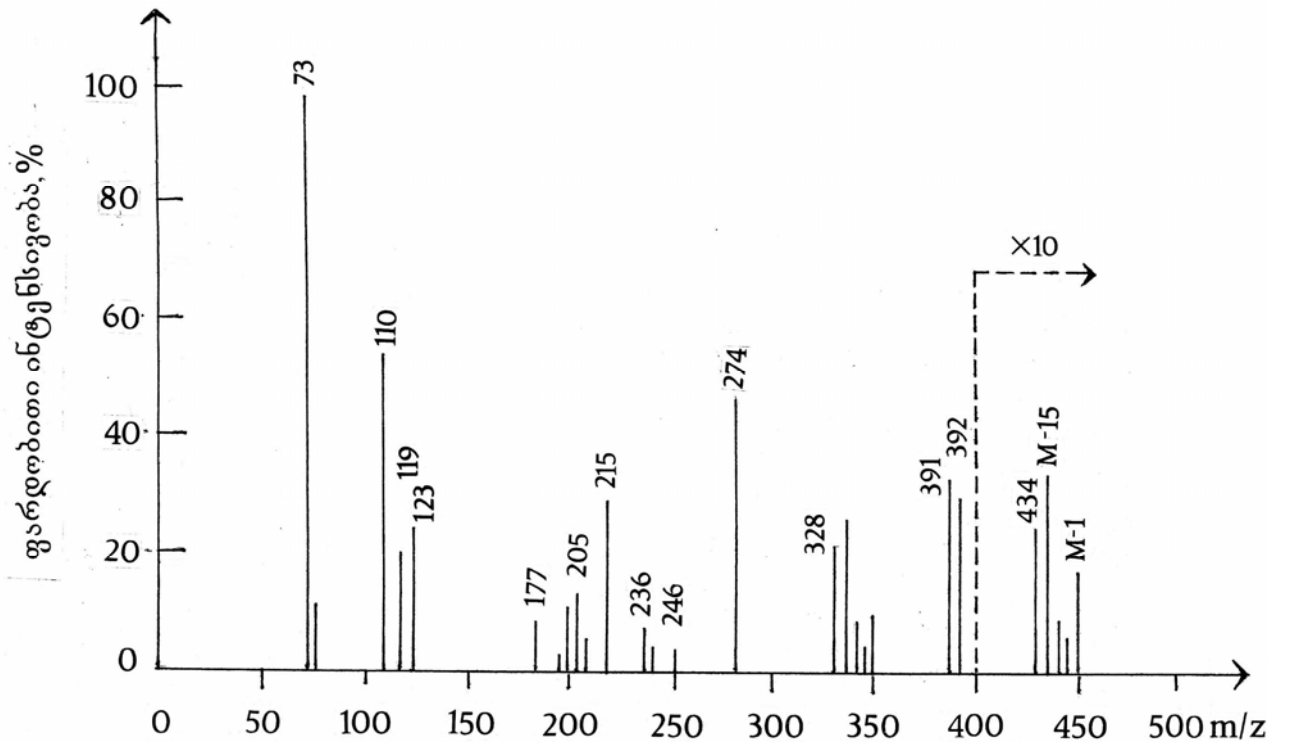


პირველი სტადია მაინიცირებელია. მეორე და მესამე სტადია მიმდინარეობს მოლეკულებს შორის არსებული შიდაკავშირების ხარუზე.

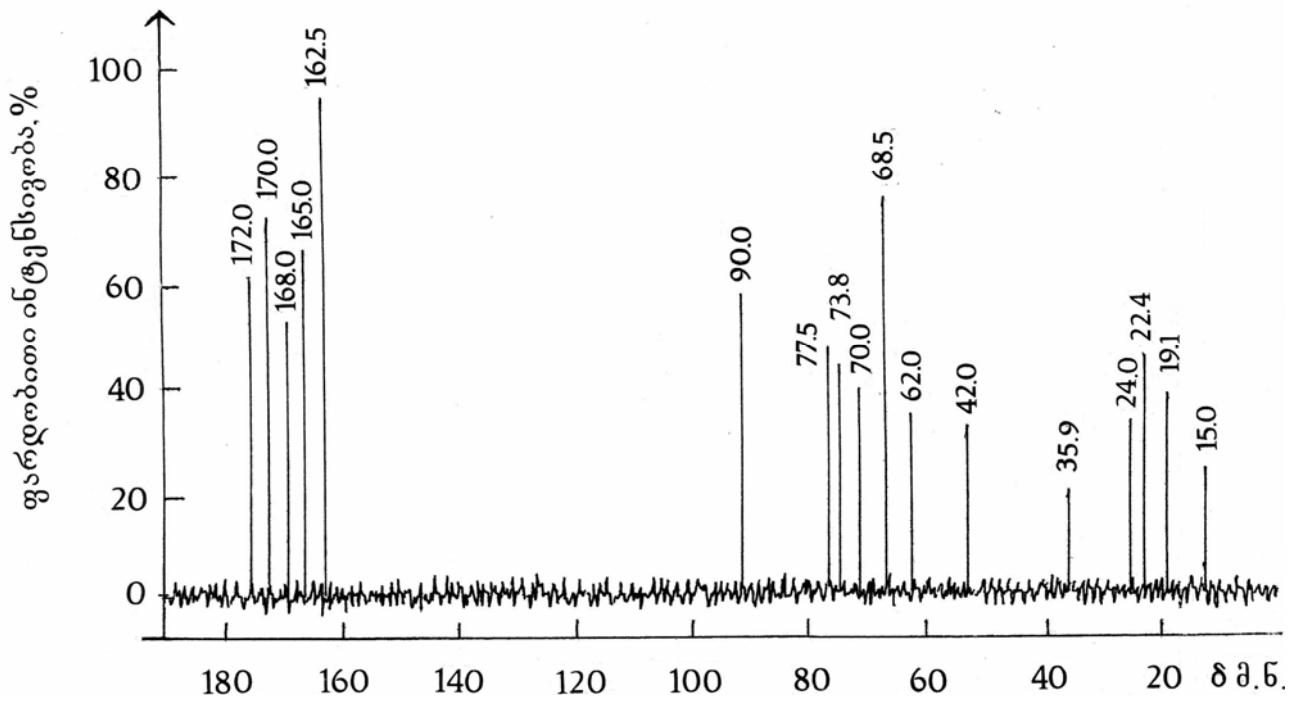
სპექტრები



ნახ



ნახ.



ნახ.